

УДК 531.66; 51.72

ЧИСЛЕННАЯ РЕАЛИЗАЦИЯ КОНЕЧНО-ЭЛЕМЕНТНОГО МЕТОДА КОНТРОЛЬНОГО ОБЪЕМА НА НЕРЕГУЛЯРНЫХ СЕТКАХ

Гафарова Ю. А.

Институт механики УНЦ РАН, Уфа

Аннотация. Рассматриваются возможность применения нерегулярных сеток и использование различных численных методов на них для решения задач со сложной геометрией. Получены дискретные аналоги уравнений Бельтрами–Митчелла на прямоугольной сетке методом контрольного объема и на треугольной сетке Делоне конечно-элементным методом контрольных объемов (КЭМКО). Продемонстрирована эффективность использования триангуляции Делоне, диаграммы Вороного и КЭМКО на тестовом примере.

1. Введение

Многообразие условий залегания пологих пластов и продолжающийся рост разработки месторождений полезных ископаемых приводят к необходимости анализа напряженно-деформированного состояния (НДС) массивов горных слоев вокруг подземных выработок всевозможных назначений и различных очертаний.

Возникает необходимость формирования расчетных сеток, обладающих более гибкими свойствами, с целью адаптации к сложной геометрии задачи и постановке граничных условий. Для этого применяют сетки с нерегулярной структурой. Среди нерегулярных сеток выделяют структурированные и неструктурированные. Треугольные сетки являются наиболее используемыми

неструктурированными сетками. При построении треугольной сетки желательно, чтобы треугольники были близки к равно-сторонним, и сетка была равномерной. Этим требованиям соответствует триангуляция по Делоне, при которой минимизируется отклонение внутренних углов треугольников от углов правильного треугольника [1].

Существует несколько подходов к построению разностных схем на треугольных сетках: метод опорных операторов, метод конечных элементов, метод контрольного объема.

Основная идея метода конечных элементов (МКЭ) состоит в том, что любую непрерывную величину можно аппроксимировать дискретной моделью, которая строится на множестве кусочно-непрерывных функций, определенных на конечном числе подобластей. Однако, при такой аппроксимации есть проблемы получения монотонных разностных схем [2].

Метод контрольного объема (МКО) является наиболее общим подходом к построению дискретных аналогов дифференциальных уравнений. Для каждого узла определяется окрестность, называемая контрольным объемом. Дискретный аналог получается интегрированием исходного уравнения по контрольному объему с некоторыми предположениями о поведении решения [3]. Основной особенностью МКО является применение для построения разностных схем локальных законов сохранения, что ведет к прямой физической интерпретации результирующих разностных уравнений.

Конечно-элементный метод контрольного объема (МКЭКО) для треугольной сетки может рассматриваться как вариант МКО с вершинно-центрированной дискретизацией. Многогранный контрольный объем строится вокруг узла сетки. Локальное изменение переменной внутри элемента описывается простыми кусочно-полиномиальными функциями, определенными на элементе, что позволяет получать дискретный аналог для произвольных неструктурированных сеток. Таким образом, МКЭКО сочетает преимущества МКО и МКЭ.

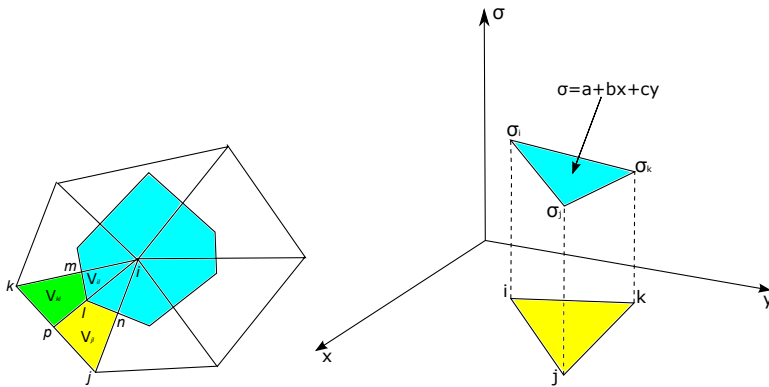
При триангуляции в качестве контрольного объема можно выбрать часть треугольника, которая получается при пересечении медиан, или многоугольник Вороного. Важно, что и в том и в другом случае в качестве критерия выбора контрольного объема положены совершенно прозрачные геометрические требования: в первом случае — разделение треугольника на три равновеликие части, во втором — геометрическая близость точек расчетной области. Среди плюсов разбиения медианами отметим, что оно проводится для произвольного разбиения на треугольники, не ограничиваясь триангуляцией Делоне. Преимущества разбиения Вороного представляются более весомыми и связаны с ортогональностью сторон треугольника к граням многоугольников Вороного. Эвристические соображения в пользу многоугольников Вороного связаны с идеей глобализации сетки и контрольных объемов — оптимизация для всех узлов, а не для отдельного треугольника.

Первоначальное разбиение исследуемой области на суперэлементы позволяет применить МКЭКО для задач с локальными сеточными сгущениями, обеспечив гладкие переходы от крупной сетки к мелкой.

2. Численное моделирование НДС грунта

Для исследования напряженно-деформированного состояния упругого слоя сложной геометрии получен дискретный аналог уравнений Бельтрами–Митчелла в декартовых координатах для плоского деформированного состояния без учета объемных сил (1) [4] конечно-элементным методом контрольного объема на треугольной сетке Делоне:

$$\begin{aligned}\Delta\sigma_{xx} + \frac{\partial^2(\sigma_{xx} + \sigma_{yy})}{\partial x^2} &= 0, \\ \Delta\sigma_{yy} + \frac{\partial^2(\sigma_{xx} + \sigma_{yy})}{\partial y^2} &= 0, \\ \Delta\sigma_{xy} + \frac{\partial^2(\sigma_{xx} + \sigma_{yy})}{\partial x\partial y} &= 0.\end{aligned}\tag{1}$$



(а) Триангуляция Делоне (b) Линейная итерполяция на треугольном элементе
и диаграмма Вороного

Рис. 1. КЭМКО на треугольной сетке Делоне

В качестве контрольных объемов рассматривались многоугольники Вороного. Изначально сетка разбивалась на прямоугольные суперэлементы, что позволило сгустить сетку в более сложных областях.

Формирование контрольных объемов около узлов i - j - k , находящихся в вершинах конечных элементов, происходит следующим образом (рис. 1): определяются середины сторон треугольника n , m , p , вершина многоугольника Вороного l , вклады в контрольный объем ΔV_{il} , ΔV_{jl} , ΔV_{kl} .

Вершина диаграммы Вороного определяется как центр описанной окружности. Вычисление этой точки через площадь треугольника и определитель [5] будет трудоемкой операцией. Эффективнее использовать прямую формулу для нахождения вершины многоугольника. Так как середины сторон треугольника найдены, можно определить точку пересечения серединных перпендикуляров к сторонам треугольника. Она и будет одной из вершин многоугольника Вороного.

В декартовой системе координат объем вклада конечного элемента в контрольный объем i -ого узла

$$\Delta V_{il} = \Delta V_{iln} + \Delta V_{ilm} = \frac{1}{2}(d(l, m)d(m, i) + d(l, n)d(n, i))\Delta z,$$

где $d(l, m) = \sqrt{(x_l - x_m)^2 + (y_l - y_m)^2}$ — расстояние между соответствующими узлами.

Размер расчетной области для слоя в направлении оси z составляет $\Delta z = 1$ м.

Контрольный объем i -ого узла собирается из всех вкладов, содержащих данный узел.

На элементе $i-j-k$ применяется линейная интерполяция (рис. 1) [2]

$$\sigma = \mathbf{N} \begin{pmatrix} \sigma_i \\ \sigma_j \\ \sigma_k \end{pmatrix} = N_i \sigma_i + N_j \sigma_j + N_k \sigma_k, \quad (2)$$

где $\mathbf{N} = (N_i, N_j, N_k)$ — функции формы. Для треугольного линейного элемента функции формы имеют следующий вид:

$$\begin{aligned} N_i &= \frac{1}{2A} (a_i + b_i x + c_i y), \\ N_j &= \frac{1}{2A} (a_j + b_j x + c_j y), \\ N_k &= \frac{1}{2A} (a_k + b_k x + c_k y), \end{aligned}$$

где $A = \frac{1}{2} \begin{vmatrix} 1 & x_i & y_i \\ 1 & x_j & y_j \\ 1 & x_k & y_k \end{vmatrix}$ — площадь треугольника $i-j-k$; компоненты векторов a , b , c определяются как

$$\begin{cases} a_i = x_i y_k - x_k y_j, \\ b_i = y_j - y_k, \\ c_i = x_k - x_j, \end{cases} \quad \begin{cases} a_j = x_k y_i - x_i y_k, \\ b_j = y_k - y_i, \\ c_j = x_i - x_k, \end{cases} \quad \begin{cases} a_k = x_i y_j - x_j y_i, \\ b_k = y_i - y_j, \\ c_k = x_j - x_i. \end{cases}$$

Система линейных алгебраических уравнений (СЛАУ) для каждого уравнения (1) имеет вид

$$\sum_{l \in W} \mathbf{K} \boldsymbol{\Sigma} = \sum_{l \in W} \mathbf{F}, \quad (3)$$

где $\mathbf{K} = \mathbf{B}^T \mathbf{D} \mathbf{B}$ — локальная матрица жесткости; $\mathbf{B} = \frac{1}{2A} \begin{pmatrix} b_i & b_j & b_k \\ c_i & c_j & c_k \end{pmatrix}$ — матрица градиентов; \mathbf{D} — матрица свойств материалов; $\boldsymbol{\Sigma} = \begin{pmatrix} \sigma_i \\ \sigma_j \\ \sigma_k \end{pmatrix}$ — вектор узловых значений напряжений; \mathbf{F} — локальный вектор нагрузки; W — множество конечных элементов расчетной области.

Раскроем в системе уравнений (1) оператор Лапласа и соберем все коэффициенты при неизвестных. Тогда уравнения Бельтрами–Митчелла будут выглядеть:

$$\begin{aligned} \frac{\partial^2 \sigma_{xx}}{\partial x^2} + \frac{\partial^2 \sigma_{xx}}{\partial y^2} + \frac{\partial^2 \sigma_{yy}}{\partial x^2} &= 0, \\ \frac{\partial^2 \sigma_{yy}}{\partial y^2} + \frac{\partial^2 \sigma_{yy}}{\partial x^2} + \frac{\partial^2 \sigma_{xx}}{\partial y^2} &= 0, \\ \frac{\partial^2 \sigma_{xy}}{\partial x^2} + \frac{\partial^2 \sigma_{xy}}{\partial y^2} + \frac{\partial^2 \sigma_{xx}}{\partial x \partial y} + \frac{\partial^2 \sigma_{yy}}{\partial x \partial y} &= 0. \end{aligned} \quad (4)$$

Операторы $\frac{\partial^2}{\partial x^2}$, $\frac{\partial^2}{\partial y^2}$, $\frac{\partial^2}{\partial x \partial y}$ проинтегрируем по вкладу ΔV_{il} в контрольный объем i -ого узла от l -ого конечного элемента:

$$\begin{aligned} \int_{\Delta V_{il}} \frac{\partial^2 \sigma}{\partial x^2} dV &= \int_{\Delta V_{il}} \mathbf{B}^T \mathbf{D} \mathbf{B} \boldsymbol{\Sigma} dV = \\ &= \frac{\Delta V_{il}}{4A^2} \begin{pmatrix} b_i & c_i \\ b_j & c_j \\ b_k & c_k \end{pmatrix} \begin{pmatrix} 1 & 0 \\ 0 & 0 \end{pmatrix} \begin{pmatrix} b_i & b_j & b_k \\ c_i & c_j & c_k \end{pmatrix} \begin{pmatrix} \sigma_i \\ \sigma_j \\ \sigma_k \end{pmatrix} = \end{aligned} \quad (5)$$

$$\begin{aligned}
&= \frac{\Delta V_{il}}{4A^2} \begin{pmatrix} b_i b_i & b_i b_j & b_i b_k \\ b_j b_i & b_j b_j & b_j b_k \\ b_k b_i & b_k b_j & b_k b_k \end{pmatrix} \begin{pmatrix} \sigma_i \\ \sigma_j \\ \sigma_k \end{pmatrix}, \\
&\int_{\Delta V_{il}} \frac{\partial^2 \sigma}{\partial y^2} dV = \int_{\Delta V_{il}} \mathbf{B}^T \mathbf{D} \mathbf{B} \boldsymbol{\Sigma} dV = \\
&= \frac{\Delta V_{il}}{4A^2} \begin{pmatrix} b_i & c_i \\ b_j & c_j \\ b_k & c_k \end{pmatrix} \begin{pmatrix} 0 & 0 \\ 0 & 1 \end{pmatrix} \begin{pmatrix} b_i & b_j & b_k \\ c_i & c_j & c_k \end{pmatrix} \begin{pmatrix} \sigma_i \\ \sigma_j \\ \sigma_k \end{pmatrix} = \quad (6) \\
&= \frac{\Delta V_{il}}{4A^2} \begin{pmatrix} c_i c_i & c_i c_j & c_i c_k \\ c_j c_i & c_j c_j & c_j c_k \\ c_k c_i & c_k c_j & c_k c_k \end{pmatrix} \begin{pmatrix} \sigma_i \\ \sigma_j \\ \sigma_k \end{pmatrix},
\end{aligned}$$

$$\begin{aligned}
&\int_{\Delta V_{il}} \frac{\partial^2 \sigma}{\partial x \partial y} dV = \int_{\Delta V_{il}} \mathbf{B}^T \mathbf{D} \mathbf{B} \boldsymbol{\Sigma} dV = \\
&= \frac{\Delta V_{il}}{4A^2} \begin{pmatrix} b_i & c_i \\ b_j & c_j \\ b_k & c_k \end{pmatrix} \begin{pmatrix} 0 & 1 \\ 0 & 0 \end{pmatrix} \begin{pmatrix} b_i & b_j & b_k \\ c_i & c_j & c_k \end{pmatrix} \begin{pmatrix} \sigma_i \\ \sigma_j \\ \sigma_k \end{pmatrix} = \quad (7) \\
&= \frac{\Delta V_{il}}{4A^2} \begin{pmatrix} b_i c_i & b_i c_j & b_i c_k \\ b_j c_i & b_j c_j & b_j c_k \\ b_k c_i & b_k c_j & b_k c_k \end{pmatrix} \begin{pmatrix} \sigma_i \\ \sigma_j \\ \sigma_k \end{pmatrix}.
\end{aligned}$$

Рассмотрим l -ый конечный элемент. Заменяем в первом уравнении (4) вторые производные на их разностные аналоги (5–7):

$$\begin{aligned}
&\begin{pmatrix} b_i^l b_i^l & b_i^l b_j^l & b_i^l b_k^l \\ b_j^l b_i^l & b_j^l b_j^l & b_j^l b_k^l \\ b_k^l b_i^l & b_k^l b_j^l & b_k^l b_k^l \end{pmatrix} \begin{pmatrix} \sigma_{xx}^i \Delta V_{il} \\ \sigma_{xx}^j \Delta V_{jl} \\ \sigma_{xx}^k \Delta V_{kl} \end{pmatrix} + \begin{pmatrix} c_i^l c_i^l & c_i^l c_j^l & c_i^l c_k^l \\ c_j^l c_i^l & c_j^l c_j^l & c_j^l c_k^l \\ c_k^l c_i^l & c_k^l c_j^l & c_k^l c_k^l \end{pmatrix} \times \\
&\times \begin{pmatrix} \sigma_{xx}^i \Delta V_{il} \\ \sigma_{xx}^j \Delta V_{jl} \\ \sigma_{xx}^k \Delta V_{kl} \end{pmatrix} + \begin{pmatrix} b_i^l b_i^l & b_i^l b_j^l & b_i^l b_k^l \\ b_j^l b_i^l & b_j^l b_j^l & b_j^l b_k^l \\ b_k^l b_i^l & b_k^l b_j^l & b_k^l b_k^l \end{pmatrix} \begin{pmatrix} \sigma_{yy}^i \Delta V_{il} \\ \sigma_{yy}^j \Delta V_{jl} \\ \sigma_{yy}^k \Delta V_{kl} \end{pmatrix} = 0. \quad (8)
\end{aligned}$$

Соберем все коэффициенты перед неизвестными σ_{xx} узлами l -ого элемента $\sigma_{xx}^i, \sigma_{xx}^j, \sigma_{xx}^k$, остальное занесем в источникный член. Таким образом (8) можно записать:

$$\begin{aligned} & \begin{pmatrix} a_{ii}^l \sigma_{xx}^i + a_{ij}^l \sigma_{xx}^j + a_{ik}^l \sigma_{xx}^k \\ a_{ji}^l \sigma_{xx}^i + a_{jj}^l \sigma_{xx}^j + a_{jk}^l \sigma_{xx}^k \\ a_{ki}^l \sigma_{xx}^i + a_{kj}^l \sigma_{xx}^j + a_{kk}^l \sigma_{xx}^k \end{pmatrix} = \\ & = - \begin{pmatrix} b_i^l b_i^l \Delta V_{il} \sigma_{yy}^i + b_i^l b_j^l \Delta V_{jl} \sigma_{yy}^j + b_i^l b_k^l \Delta V_{kl} \sigma_{yy}^k \\ b_j^l b_i^l \Delta V_{il} \sigma_{yy}^i + b_j^l b_j^l \Delta V_{jl} \sigma_{yy}^j + b_j^l b_k^l \Delta V_{kl} \sigma_{yy}^k \\ b_k^l b_i^l \Delta V_{il} \sigma_{yy}^i + b_k^l b_j^l \Delta V_{jl} \sigma_{yy}^j + b_k^l b_k^l \Delta V_{kl} \sigma_{yy}^k \end{pmatrix}, \end{aligned} \quad (9)$$

где $a_{ij}^l = (2b_i^l b_j^l + c_i^l c_j^l) \Delta V_{jl}$.

Система линейных алгебраических уравнений относительно напряжения σ_{xx} в узлах l -ого элемента, (9) — дискретный аналог 1-ого уравнения Бельтрами–Митчелла.

Аналогично получаем дискретные аналоги для для 2-ого и 3-его уравнений Бельтрами–Митчелла:

$$\begin{aligned} & \begin{pmatrix} a_{ii}^l \sigma_{yy}^i + a_{ij}^l \sigma_{yy}^j + a_{ik}^l \sigma_{yy}^k \\ a_{ji}^l \sigma_{yy}^i + a_{jj}^l \sigma_{yy}^j + a_{jk}^l \sigma_{yy}^k \\ a_{ki}^l \sigma_{yy}^i + a_{kj}^l \sigma_{yy}^j + a_{kk}^l \sigma_{yy}^k \end{pmatrix} = \\ & = - \begin{pmatrix} c_i^l c_i^l \Delta V_{il} \sigma_{xx}^i + c_i^l c_j^l \Delta V_{jl} \sigma_{xx}^j + c_i^l c_k^l \Delta V_{kl} \sigma_{xx}^k \\ c_j^l c_i^l \Delta V_{il} \sigma_{xx}^i + c_j^l c_j^l \Delta V_{jl} \sigma_{xx}^j + c_j^l c_k^l \Delta V_{kl} \sigma_{xx}^k \\ c_k^l c_i^l \Delta V_{il} \sigma_{xx}^i + c_k^l c_j^l \Delta V_{jl} \sigma_{xx}^j + c_k^l c_k^l \Delta V_{kl} \sigma_{xx}^k \end{pmatrix}, \end{aligned} \quad (10)$$

где $a_{ij}^l = (2c_i^l c_j^l + b_i^l b_j^l) \Delta V_{jl}$;

$$\begin{aligned} & \begin{pmatrix} a_{ii}^l \sigma_{xy}^i + a_{ij}^l \sigma_{xy}^j + a_{ik}^l \sigma_{xy}^k \\ a_{ji}^l \sigma_{xy}^i + a_{jj}^l \sigma_{xy}^j + a_{jk}^l \sigma_{xy}^k \\ a_{ki}^l \sigma_{xy}^i + a_{kj}^l \sigma_{xy}^j + a_{kk}^l \sigma_{xy}^k \end{pmatrix} = \\ & = - \begin{pmatrix} b_i^l c_i^l \Delta V_{il} s_i + b_j^l c_j^l \Delta V_{jl} s_j + b_k^l c_k^l \Delta V_{kl} s_k \\ b_j^l c_i^l \Delta V_{il} s_i + b_j^l c_j^l \Delta V_{jl} s_j + b_j^l c_k^l \Delta V_{kl} s_k \\ b_k^l c_i^l \Delta V_{il} s_i + b_k^l c_j^l \Delta V_{jl} s_j + b_k^l c_k^l \Delta V_{kl} s_k \end{pmatrix}, \end{aligned} \quad (11)$$

где $a_{ij}^l = (2b_i^l b_j^l + c_i^l c_j^l) \Delta V_{jl}$, $s_i = (\sigma_{xx}^i + \sigma_{yy}^i)$.

Полученные СЛАУ решаются методом сопряженных градиентов и уточняются по всему многоугольнику Вороного.

3. Демонстрационный пример

В процессе бурения возникает задача определения напряжения для неограниченной области с круговым отверстием радиуса R при однородном нормальном давлении p .

Для решения этой задачи расчетная область разбивается на 7 суперэлементов, что позволяет сгустить сетку в более сложных областях (рис. 2). На каждом элементе производится триангуляция Делоне.

Начальные условия на отверстии задаются направляющими косинусами:

$$\sigma_{xx} = \frac{x}{R} p, \quad \sigma_{yy} = \frac{y}{R} p, \quad \sigma_{xy} = 0.$$

На рис. 3 представлено распределение давления по пласту. Исходя из графиков видно, что по мере приближения к оси x напряжение σ_{xx} возрастает, а σ_{yy} — убывает. На графиках, представленных на рис. 4, приведено сравнение МКО и КЭМКО для первых 20 узлов расчетной области. КЭМКО более точно описывает распределение давления в нагруженной области чем МКО.

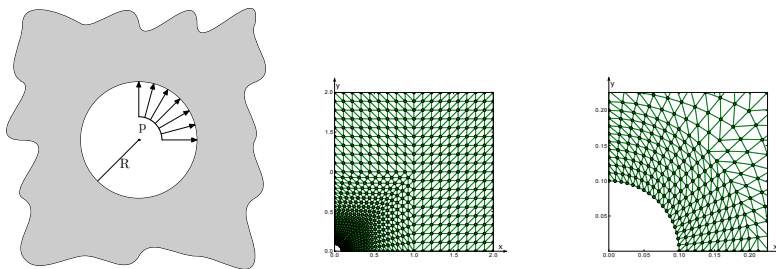


Рис. 2. Геометрия области

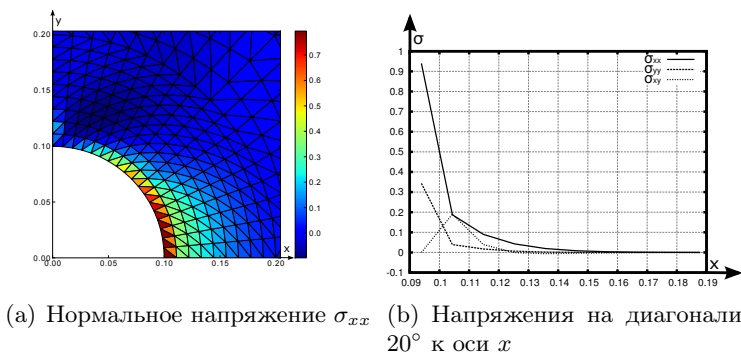


Рис. 3. Распределение давления по пласту

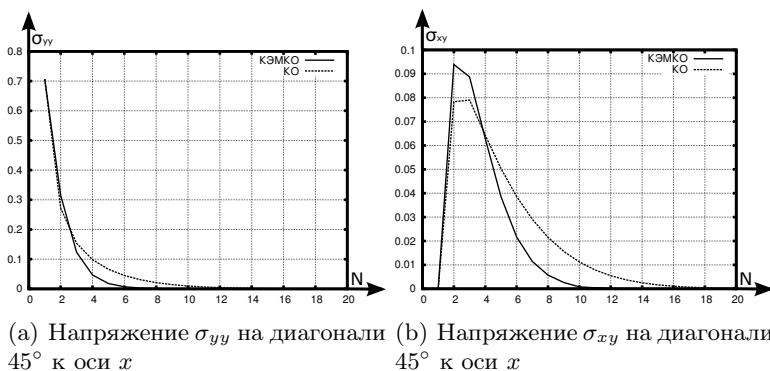


Рис. 4. Сравнение МКО и КЭМКО

4. Выводы

КЭМКО, триангуляция Делоне, диаграмма Вороного позволяют:

- точно описать геометрию области;
- точно задать начальные и граничные условия;
- произвести быстрый расчет;
- использовать локальные законы сохранения.

Таким образом, в совокупности они создают эффективный аппарат для численного решения задач со сложной геометрией.

Список литературы

- [1] Скворцов А. В. Обзор алгоритмов построения триангуляции Делоне // Вычислительные методы и программирование. 2002. № 3. С. 14–39.
- [2] Сегерлинд Л. Применение метода конечных элементов. Пер. с англ. М.: Мир, 1979. 392 с.
- [3] Патанкар С. Численные методы решения задач теплообмена и динамики жидкости. М.: Энергоатомиздат, 1984. 152 с.
- [4] Хан Х. Теория упругости: Основы линейной теории и её применения. Пер. с нем. М.: Мир, 1988. 344 с.
- [5] Киселёв А. П. Элементарная геометрия. М.: Просвещение. 1980.